УДК 547.979.733

# ДОНОРНО-АКЦЕПТОРНЫЕ СИСТЕМЫ НА ОСНОВЕ ФУЛЛЕРЕНА С<sub>60</sub> И ЛИПОФИЛЬНЫХ мезо-АРИЛПОРФИРИНОВ

Е.С. Зябликова, аспирант, Н.А. Брагина, доцент,

## А.Ф. Миронов, заведующий кафедрой

кафедра Химии и технологии биологически активных соединений им. Н.А. Преображенского МИТХТ им. М.В. Ломоносова e-mail: e.s.krutikova@gmail.com

существлен синтез донорно-акцепторных систем на основе фуллерена  $C_{60}$  и липофильных мезо-арилпорфиринов с длинноцепными заместителями. Полученные фуллеренпорфириновые конъюгаты охарактеризованы методами ИК-, УФ-, <sup>1</sup>H-, <sup>13</sup>C-ЯМР-спектроскопии и MALDI-TOF масс-спектрометрии. Изучены спектры флуоресценции донорно-акцепторных диад порфирин—фуллерен  $C_{60}$ .

In this paper we report the synthesis donor-acceptor systems based on fullerene  $C_{60}$  and lipophilic meso-arylporphyrins. The obtained conjugates were characterized by IR, UV-vis,  $^1H$ ,  $^{13}C$  NMR spectroscopy and MALDI-TOF mass spectrometry. The fluorescence spectra of porphyrin–fullerene  $C_{60}$  donor-acceptor dyads were studied.

**Ключевые слова:** порфирины, формилпорфирины, фуллерен  $C_{60}$ , порфирин—фуллереновые конъюгаты, перенос электронов, донорно-акцепторная система.

**Key words:** porphyrins, formylporphyrins, fullerene C<sub>60</sub>, porphyrin–fullerene conjugates, electrons transfer, donor-acceptor systems.

#### Введение

Производные фуллерена  $C_{60}$ , обладающие уникальными фотофизическими и электрохимическими свойствами, являются перспективными объектами в связи с их возможным использованием в качестве материалов для нанотехнологий, при получении новых хроматографических носителей, различного рода электропроводящих материалов, жидких кристаллов, катализаторов, красителей, сверхтвердых композитов, биологически активных соединений и лекарственных препаратов [1–3].

Известно, что фуллерены являются хорошими π-акцепторами, поэтому в последнее десятилетие большой интерес вызывают разнообразные диады, построенные на основе молекул фуллерена и различных органических доноров: тетратиофульваленов, олиготиофенов, порфиринов, фталоцианинов, корролов и др. [1, 4-6]. Исследования подобных соединений охватывают широкий круг вопросов, включая моделирование процессов переноса энергии при фотосинтезе. Поскольку порфирины обладают необходимыми фотофизическими и электрохимическими свойствами, они прекрасно подходят для создания систем, обеспечивающих возможность фотоиндуцированного переноса заряда. Благодаря этому фуллерен-порфириновые системы являются исключительно интересными объектами, поскольку время жизни состояний с разделением заряда для таких конъюгатов на несколько порядков выше, чем в каких-либо других известных типах донорно-акцепторных систем [7]. Для того чтобы перевести состояние с разделенными зарядами в химическую или электрическую энергию, необходима векторная передача электрона. Такой направленный перенос электрона осуществляется в порфиринфуллереновых системах, включенных в искусственные мембраны: липидные бислои [8], мономолекулярные пленки Ленгмюра—Блоджетт [9] с однородной ориентацией донорноакцепторных диад на поверхности твердой подложки.

Некоторые фуллерен-содержащие конъюгаты представляют собой термотропные жидкие кристаллы (ЖК) [10]. При этом незамещенные фуллерены не способны формировать ЖК-фазы. Существуют два подхода к приданию фуллерену мезогенных свойств: создание комплексов с ЖК-соединениями на основе ковалентных связей [11-14] или нековалентных взаимодействий [15, 16]. Показано, что в качестве таких ЖК-соединений могут выступать мезоморфные производные порфиринов [16]. Дискотические ЖК на основе порфиринов самоорганизуются в колончатые структуры, давая Col<sub>h</sub>мезофазу [17]. Это создает прекрасные условия для переноса заряда и транспорта электрона внутри колонн. Длинноцепные заместители в мезо-положении порфиринов способствуют самоорганизации и проявлению мезогенных свойств [18, 19].

Уникальная способность фотопроводящих фуллерен—порфириновых конъюгатов к самосборке открывает возможности их практического использования в фотовольтаике в качестве молекулярных проводников [20]. Варьируя производные порфирина, можно контролировать форму наноструктур, образующихся на основе донорно-акцепторных фуллерен—порфириновых диад, и эффективность переноса заряда вдоль молекулярных проводников.

Настоящая работа посвящена синтезу ковалентно-связанных порфирин-фуллереновых диад на основе фуллерена  $C_{60}$  и *мезо*арилзамещенных липофильных порфиринов.

#### Результаты и их обсуждение

Среди известных методов функционализации  $C_{60}$ , описанных в последние годы, наиболее широкое применение имеет реакция Прато, которая заключается в 2,3-циклоприсоединении к фуллерену азометинилидов, получаемых конденсацией  $\alpha$ -аминокислот с альдегидами [1]. Возможность варьирования производных исходных альдегидов позволяет синтезировать фуллеренопирролидины с различными заместителями в пирролидиновом цикле. В качестве альдегидной компоненты мы использовали моно- $\beta$ -формилтетрафенилпорфирины с длинноцепными алкильными заместителями в n-положениях фенильных групп.

Исходные *мезо*-арилзамещенные порфирины **1а**—**е** получали усовершенствованным методом монопиррольной конденсации по Линдсею из пиррола и соответствующих замещенных 4-гидроксибензальдегидов с выходом 40% по ранее описанной методике [21]. На основе порфиринов **1а**—**е** были получены металло-комплексы с Ni **2a,c**—**e** и Cu **3a**—**e** (рис. 1). Сикомплексы порфиринов получали в CH<sub>2</sub>Cl<sub>2</sub> и МеОН с выходом 95%. В случае Ni-комплексов выход при этих же условиях составлял 70%, поэтому реакцию в дальнейшем проводили при кипячении в DMFA, что привело к увеличению выхода до 90%.

R=-(CH<sub>2</sub>)nCH<sub>3</sub>, n=5(a),9(b),13(c),15(d),17(e)

Рис. 1. Схема синтеза порфирин—фуллереновых диад. Реагенты и условия проведения реакции:  $i-NiCl_2$ , DMFA, 6 ч или CuAc<sub>2</sub>, CH<sub>2</sub>Cl<sub>2</sub>, MeOH, 4 ч; ii-DMFA, POCl<sub>3</sub>, CH<sub>2</sub>Cl<sub>2</sub>, 6 ч, аргон; iii-a) DMFA, POCl<sub>3</sub>, CH<sub>2</sub>Cl<sub>2</sub>, 6 ч, аргон; 6) конц. H<sub>2</sub>SO<sub>4</sub>, 5 мин; iv-N-метилглицин, C<sub>60</sub>, толуол, 20 ч, аргон.

Формилирование металлокомплексов 2 и 3 проводили по Вильсмейеру в хлористом метилене при нагревании в течение 6 ч [22, 23]. Выход формилпорфиринов 4 и 5 составил 55–60%. Получение свободных оснований моно- $\beta$ -формил-*мезо*-арилтетрафенилпорфиринов вызывает определенные трудности, поскольку деметалирование металлокомплексов формилпорфиринов обычными способами в жестких условиях ( $H_2SO_4$  или TFA) может приводить к образованию продуктов циклизации [24]. Поэтому для получения соединений 6a,c,e мы проводили обработку соответствующего «фосфорного комплекса» концентрированной серной кислотой с последующим гидролизом

иммониевой соли до формилпорфирина [25].

Полученные формилпорфирины и их металлокомплексы были охарактеризованы методами ИК-, УФ-, <sup>1</sup>Н-ЯМР-спектроскопии и массспектрометрии. В ИК-спектрах наблюдали полосы при 1673 см<sup>-1</sup> для 4 и 1671 см<sup>-1</sup> для 5, которые соответствуют валентным колебаниям альдегидной группы, находящейся в сопряжении с ароматическим кольцом. В электронном спектре поглощения для всех формилпорфиринов наблюдали батохромный сдвиг полосы Соре: для металлокомлексов 4 и 5 до 432 нм, а для свободных оснований порфиринов 6 до 434 нм. В <sup>1</sup>Н-ЯМР-спектре порфирина 6а присутствовал сигнал протона формильной группы с

химсдвигом 9.42 м.д. и сигнал соседнего  $\beta$ -протона при 9.33 м.д. Остальные  $\beta$ -протоны имели химсдвиги в области 8.42–8.96 м.д.

Присоединение фуллерена  $C_{60}$  к порфиринам **4–6** проводили при кипячении с *N*-метилглицином (саркозином) в абсолютном толуоле в атмосфере аргона в течение 20 ч. Выходы соединений **7–9** составили 20–25%. Наличие длинноцепных заместителей в порфирине обеспечивает хорошую растворимость порфиринфуллереновых диад в хлористом метилене, что существенно облегчает дальнейшую работу с полученными соединениями.

Синтезированные диады охарактеризованы методами ИК-, УФ-,  $^{1}$ Н-,  $^{13}$ С-ЯМР-спектроскопии и масс-спектрометрии. В электронных спектрах наблюдали гипсохромный сдвиг полосы Соре до 429 нм для соединений **9а,с,е**.

Наличие в  $^{1}$ H-ЯМР-спектре **9а** сигналов с химсдвигами 5.47 (1H, s, NCH), 4.67, 4.71 (2H, d, NCH<sub>2</sub>) и 2.54 (3H, s, NCH<sub>3</sub>) м.д. свидетельствует об образовании пирролидинового кольца.

В <sup>13</sup>С-ЯМР-спектре для **9а** наблюдали ряд сигналов в области 158.45—110.88 м.д., соответствующих фуллереновой части молекулы конъюгата, и сигналы при 66.84, 67.04, 67.95, 68.77 м.д., соответствующие пирролидиновому циклу [26, 27].

В MALDI-MS-спектре соединения **9a** наблюдали пик с m/z 1792.33, соответствующий молекулярному иону диады.

Для полученных конъюгатов были изучены спектры флуоресценции. Возбуждение порфирин—фуллереновой диады проводили при 420 нм. Форма спектров флуоресценции диад и исходных порфиринов существенно различается. Так, для диады 7d (рис. 2) вследствие тушения синглетного возбужденного состояния порфирина наблюдали уменьшение интенсивности флуоресценции порфириновой части диады по сравнению с исходным Ni-комплексом 2d. При этом появляется пик, соответствующий флуоресценции фуллерена  $C_{60}$  в области 700—800 нм [28], с  $\lambda_{max}$ 729 нм.

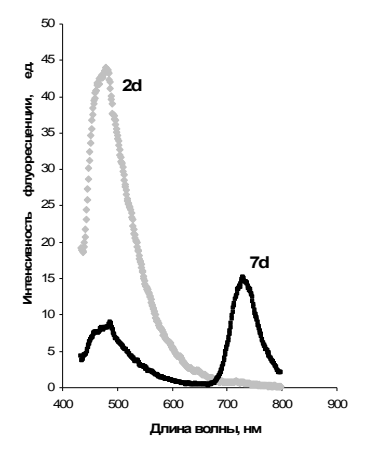


Рис. 2. Спектры флуоресценции соединений **2d** и **7d**.

Таким образом, по реакции Прато были получены новые донорно-акцепторные конъюгаты на основе фуллерена  $C_{60}$  и никелевого и медного комплексов *мезо*-арилзамещенных порфиринов с длинноцепными заместителями.

### Экспериментальная часть

В работе использовали пиррол производства «Мегск» (Германия), DDQ, 4-гидроксибензальдегид производства «Aldrich» (США), фуллерен (99.5%) производства «ЗАО Фуллерен-Центр» (Россия), саркозин (98%) производства «Acros Organics» (США).

Спектры ЯМР получали на импульсном фурье-спектрометре Bruker DPX-300 (Германия) с рабочей частотой 300 МГц, измерения проводили по шкале б, внутренний стандарт тетраметилсилан, растворитель CDCl<sub>3</sub>. ИКспектры записывали на фурье-спектрометре Bruker Equinox 55 (Германия), вещество в пленках на КВг. Электронные спектры регистрировали на спектрофотометре Jasko UV-7800 в хлористом метилене. Спектры флуоресценции записывали на флуориметре Varian Cary Eclipse Fluorescence Spectrophotometer (Австралия). Масс-спектры регистрировали на приборе Bruker Ultraflex TOF/TOF-методом MALDI-MS. TCX проводили на пластинках Silufol UV-254 (Kavalier, Чехия) в системах: хлористый метилен (А); хлористый метилен – гексан, 1 : 3 (Б); хлористый метилен – гексан, 1:5 (В); толуол – гексан, 1:3 (Г). Хроматографическую очистку соединений проводили на открытых колонках с силикагелем G 60 (Sigma).

Никелевый комплекс 5,10,15,20-тетра(4-и-гексилоксифенил)порфирина (2а). К 1 экв. порфирина 1 в DMFA добавляли 10 экв. хлорида никеля, кипятили в течение 6 ч. Реакционную массу разбавляли водой и экстрагировали хлористым метиленом, растворитель удаляли в вакууме. Вещество перекристаллизовывали из хлороформа с метанолом. Выход 90%.  $R_f$  0.95 (A). Электронный спектр,  $\lambda_{\text{max}}$ , нм ( $\epsilon$ ×10<sup>-3</sup>): 418 (802.9), 526 (98).

Никелевый комплекс 5,10,15,20-тетра(4-и-тетрадецилоксифенил)порфирина (2c). Получали аналогично соединению 2a. Выход 91%.  $R_f$  0.95 (A). Электронный спектр,  $\lambda_{\text{max}}$ , нм ( $\epsilon$ ×10<sup>-3</sup>): 418 (796.3), 525 (91).

Никелевый комплекс 5,10,15,20-тетра(4-и-гексадецилоксифенил)порфирина (2d). Получали аналогично соединению 2a. Выход 90%.  $R_f$  0.95 (A). Электронный спектр,  $\lambda_{\text{max}}$ , нм ( $\epsilon$ ×10<sup>-3</sup>): 418 (578.7), 525 (55).

Никелевый комплекс 5,10,15,20-тетра(4-и-октадецилоксифенил)порфирина (2e). Получали аналогично соединению 2a. Выход 89%.  $R_f$  0.95 (A). Электронный спектр,  $\lambda_{\text{max}}$ , нм ( $\epsilon \times 10^{-3}$ ): 418 (780.3), 525 (87).

**Медный комплекс** 5,10,15,20-тетра(4-*н*-гексилоксифенил)порфирина (3a). К 1 экв.

порфирина **1** в хлористом метилене добавляли 10 экв. ацетата меди в метаноле. Реакцию вели при перемешивании в течение 4 ч при комнатной температуре. Растворитель удаляли в вакууме, остаток растворяли в хлористом метилене, отфильтровывали от неорганических солей. Вещество перекристаллизовывали из смеси хлороформ—метанол. Выход 95%.  $R_f$  0.85 (A). Электронный спектр,  $\lambda_{\rm max}$ , нм ( $\epsilon \times 10^{-3}$ ): 416.5 (444), 539 (62.7).

Медный комплекс 5,10,15,20-тетра(4-и-децилоксифенил)порфирина (3b). Получали аналогично соединению 3a. Выход 95%.  $R_f$  0.85 (A). Электронный спектр,  $\lambda_{\text{max}}$ , нм ( $\epsilon \times 10^{-3}$ ): 416.5 (436), 539 (71).

**Медный комплекс 5,10,15,20-тетра(4-и-тетрадецилоксифенил)порфирина (3c).** Получали аналогично соединению **3a.** Выход 94%.  $R_f$  0.85 (A). Электронный спектр,  $\lambda_{\text{max}}$ , нм ( $\epsilon \times 10^{-3}$ ): 416.5 (872.5), 539 (98).

Медный комплекс 5,10,15,20-тетра(4-*н*-гексадецилоксифенил)порфирина (3d). Получали аналогично соединению 3a. Выход 92%.  $R_f$  0.85 (A). Электронный спектр,  $\lambda_{\text{max}}$ , нм ( $\epsilon \times 10^{-3}$ ): 416.5 (556.2), 539 (79).

**Медный комплекс 5,10,15,20-тетра(4-***н***-октадецилоксифенил)порфирина (3е).** Получали аналогично соединению **3а.** Выход 95%.  $R_f$  0.85 (A). Электронный спектр,  $\lambda_{\text{max}}$ , нм ( $\epsilon \times 10^{-3}$ ): 416.5 (783), 539 (86).

Никелевый 2-формилкомплекс 5,10,15,20-тетра(4-н-гексилоксифенилпорфирин (4а). К раствору 0.060 г (0.046 ммоль) никелевого комплекса порфирина 2а в 5 мл хлористого метилена добавили комплекс Вильсмейера, приготовленный из 0.84 мл (0.01 моль) POCl<sub>3</sub> и 0.60 мл (0.012 моль) DMFA, при 0°C. Реакцию проводили при 40°C в течение 6 ч. Затем реакционную массу обрабатывали раствором NaOH (рН 8-9) и экстрагировали хлористым метиленом, который промывали несколько раз водой до нейтрального значения рН и удаляли в вакууме. Соединение 4а элюировали системой Б. Вещество перекристаллизовывали из хлороформа с метанолом. Выход 0.034 мг (55%). Электронный спектр,  $\lambda_{max}$ , нм  $(\varepsilon \times 10^{-3})$ : 432 (430.8), 539 (48.8), 584.1 (34). ИКспектр (v, см<sup>-1</sup>): 1673. <sup>1</sup>H-ЯМР-спектр (δ, м.д.): 0.90-0.96 (12H, T, CH<sub>3</sub>), 1.30-1.46 (16H, M, (CH<sub>2</sub>)<sub>8</sub>), 4.22–4.25 (8H, T, OCH<sub>2</sub>), 7.52–7.73 (12H, м, мезо-(ArH)), 7.84-7.90 (4Н, м, мезо-(ArH)), 8.68-8.78 (6Н, м, пиррол), 9.30 (1β-Н, с, пиррол,), 9.32 (1H, с, СНО).

Никелевый комплекс 2-формил-5,10,15,20-тетра(4-*н*-тетрадецилоксифенил)-порфирина (4c). Получали аналогично соединению 4a. Выход 55%. Электронный спектр,  $\lambda_{\text{max}}$ , нм ( $\epsilon$ ×10<sup>-3</sup>): 432.5 (450.6), 540.1 (58.7), 584.8 (37.5). ИК-спектр ( $\nu$ , см<sup>-1</sup>): 1673. <sup>1</sup>H-ЯМР-спектр ( $\delta$ , м.д.): 0.89–0.92 (12H, т, CH<sub>3</sub>), 1.24–

1.42 (26H, м, (CH<sub>2</sub>)<sub>13</sub>), 4.17–4.22 (8H, т, OCH<sub>2</sub>), 6.65–7.15 (16H, м, *мезо*-(ArH)), 8.65–8.80 (6H, м, пиррол), 9.28 (1β-H, с, пиррол,), 9.30 (1H, с, CHO).

Никелевый комплекс 2-формил-5,10,15,20-тетра(4-*н*-гексадецилоксифенил)-порфирина (4d). Получали аналогично соединению 4a. Выход 55%. Электронный спектр,  $\lambda_{\text{max}}$ , нм ( $\epsilon$ ×10<sup>-3</sup>): 432.5 (410.6), 538.8 (45.7), 583.8 (32.2). ИК-спектр ( $\nu$ , см<sup>-1</sup>): 1673. <sup>1</sup>H-ЯМР-спектр ( $\delta$ , м.д.): 0.87–0.91 (12H, т, CH<sub>3</sub>), 1.27–1.61 (26 H, м, (CH<sub>2</sub>)<sub>13</sub>), 4.14–4.21 (8H, т, OCH<sub>2</sub>), 7.17–7.91 (16H, м, *мезо*-(ArH)), 8.68–8.80 (6H, м, пиррол), 9.30 (1 $\beta$ -H, с, пиррол,), 9.33 (1H, с, CHO).

Никелевый коплекс 2-формил-5,10,15,20-тетра(4-*н*-октадецилоксифенил)-порфирина (4e). Получали аналогично соединению 4a. Выход 55%. Электронный спектр,  $\lambda_{\text{max}}$ , нм ( $\epsilon \times 10^{-3}$ ): 432 (422.6), 538.8 (48.7), 583.8 (35.2). ИК-спектр (v, см<sup>-1</sup>): 1671. <sup>1</sup>H-ЯМР-спектр ( $\delta$ , м.д.): 0.87–0.91 (12H, т, CH<sub>3</sub>), 1.24–1.42 (26H, м, (CH<sub>2</sub>)<sub>13</sub>), 4.19–4.23 (8 H, т, OCH<sub>2</sub>), 6.58–7.16 (16H, м, *мезо*-(ArH)), 8.68–8.82 (6H, м, пиррол), 9.28 (1 $\beta$ -H, с, пиррол,), 9.30 (1H, с, CHO).

Медный комплекс 2-формил-5,10,15,20тетра(4-*н*-гексилоксифенил)порфирина (5а). Получали аналогично соединению 4а. Выход 60%. Электронный спектр,  $\lambda_{\text{max}}$ , нм ( $\epsilon \times 10^{-3}$ ): 431 (717.9), 550 (73.4), 596 (56.7). ИК-спектр ( $\nu$ , см<sup>-1</sup>): 1672.

Медный комплекс 2-формил-5,10,15,20-тетра(4-*н*-децилоксифенил)порфирина (5b). Получали аналогично соединению 4a. Выход 60% Электронный спектр,  $\lambda_{\text{max}}$ , нм ( $\epsilon \times 10^{-3}$ ): 431 (295.6), 551 (33.1), 591 (22.3). ИК-спектр ( $\nu$ , см<sup>-1</sup>): 1672.

Медный комплекс 2-формил-5,10,15,20-тетра(4-*н*-тетрадецилоксифенил)-порфирина (5c). Получали аналогично соединению 4а. Выход 60%. Электронный спектр,  $\lambda_{\text{max}}$ , нм ( $\epsilon \times 10^{-3}$ ): 431.5 (994.6), 552 (84.1), 594 (29.9). ИКспектр ( $\nu$ , см<sup>-1</sup>): 1671.

**2-Формил-5,10,15,20-тетра(4-н-гексилок**сифенил)порфирин (ба). К раствору 0.060 г (0.046 ммоль) порфирина 3 в 5 мл хлористого метилена добавили комплекс Вильсмейера, приготовленный из 0.84 мл (0.01 моль) РОСІ3 и 0.60 мл (0.012 моль) DMFA при 0°C. Реакцию проводили при 40°C в течение 6 ч. Охлажденную реакционную массу перемешивали с 1 мл конц. H<sub>2</sub>SO<sub>4</sub> в течение 5 мин. Затем реакционную массу обрабатывали раствором NaOH (рН 8-9) и экстрагировали хлористым метиленом, который промывали несколько раз водой до нейтрального значения рН и удаляли в вакууме. Соединение ба элюировали системой В. Вещество перекристаллизовывали из хлороформа с метанолом. Выход 0.024 мг (46%). Электронный спектр,  $\lambda_{max}$ , нм ( $\epsilon \times 10^{-3}$ ): 434 (662.8), 529.2 (54.3), 572.4 (35), 610.00 (18), 673.0 (8). <sup>1</sup>H-ЯМР-спектр (δ, м.д.): 0.89–0.91

(12H, τ, CH<sub>3</sub>), 1.29–1.72 (16H, м, (CH<sub>2</sub>)<sub>8</sub>), 4.19–4.29 (8H, τ, OCH<sub>2</sub>), 7.25–8.11 (16H, м, мезо-(ArH)), 8.42–8.96 (6H, м, пиррол), 9.33 (1β-H, с, пиррол,), 9.42 (1H, с, CHO).

**2-Формил-5,10,15,20-тетра(4-и-тетраде- цилоксифенил)порфирин (6с).** Получали аналогично соединению **6а.** Выход 43%. Электронный спектр,  $\lambda_{\text{max}}$ , нм ( $\epsilon$ ×10<sup>-3</sup>): 436 (488.5), 530.6 (56.6), 574.6 (37), 611.5 (19), 675.1(10). <sup>1</sup>H-ЯМР-спектр ( $\delta$ , м.д.): 0.87–0.94 (12H, т, CH<sub>3</sub>), 1.26–2.04 (16H, м, (CH<sub>2</sub>)<sub>8</sub>), 4.20–4.29 (8H, т, OCH<sub>2</sub>), 7.27–8.12 (16H, м, *мезо*-(ArH)), 8.81–8.97 (6H, м, пиррол), 9.36 (1 $\beta$ -H, с, пиррол,), 9.43 (1H, с, CHO).

**2-Формил-5,10,15,20-тетра**(4-*н*-октадецил-оксифенил)порфирин (6е). Получали аналогично соединению 6а. Выход 40%. Электронный спектр,  $\lambda_{\text{max}}$ , нм ( $\epsilon$ ×10<sup>-3</sup>): 434.8 (542.8), 529.2 (54.3), 572.4 (35), 610.0 (22), 673.0 (10). <sup>1</sup>H-ЯМР-спектр ( $\delta$ , м.д.): 0.87–0.93 (12H, т, CH<sub>3</sub>), 1.25–2.11 (16H, м, (CH<sub>2</sub>)<sub>8</sub>), 4.16–4.35 (8H, т, OCH<sub>2</sub>), 7.28–8.14 (16H, м, *мезо*-(ArH)), 8.40–8.94 (6H, м, пиррол), 9.37 (1β-H, с, пиррол,), 9.42 (1H, с, CHO).

Порфирин—фуллереновый конъюгат 7а. Формилпорфирин 4а (40 мг, 0.030 ммоль), саркозин (80 мг, 0.902 ммоль) и фуллерен  $C_{60}$  (64 мг, 0.090 ммоль) кипятили в 50 мл толуола в атмосфере аргона в течение 20 ч. После удаления растворителя продукт элюировали системой  $\Gamma$ . Растворитель удаляли в вакууме. Вещество перекристаллизовывали из хлороформа с метанолом. Выход 14 мг (23%). Электронный спектр,  $\lambda_{\text{max}}$ , нм ( $\epsilon$ ×10<sup>-3</sup>): 426 (382.7), 546 (59). <sup>1</sup>H-ЯМР-спектр ( $\delta$ , м.д.): 5.30 (1H, s, NCH), 4.09, 4.12 (2H, d, NCH<sub>2</sub>), 2.75 (3H, s, NCH<sub>3</sub>). <sup>13</sup>C-ЯМР-спектр ( $\delta$ , м.д.): 38.7 (NCH<sub>3</sub>), 66.9 (NCH<sub>2</sub>), 67.00 (NCH), 67.4, 68.9 (sp<sup>3</sup>-C), 159.80–113.12 (sp<sup>2</sup>-C).

Порфирин–фуллереновый конъюгат 7с. Получали аналогично соединению 7а. Выход 20%. Электронный спектр,  $\lambda_{\text{max}}$ , нм ( $\epsilon \times 10^{-3}$ ): 426 (382.7), 546 (59). <sup>1</sup>H-ЯМР-спектр ( $\delta$ , м.д.): 5.32 (1H, s, NCH), 4.11, 4.14 (2H, d, NCH<sub>2</sub>), 2.77 (3H, s, NCH<sub>3</sub>). <sup>13</sup>C-ЯМР-спектр ( $\delta$ , м.д.): 38.55 (NCH<sub>3</sub>), 52.14 (NCH<sub>2</sub>), 67.00 (NCH), 67.47, 68.15 (sp<sup>3</sup>-C), 158.66–111.37 (sp<sup>2</sup>-C).

Порфирин–фуллереновый конъюгат 7d. Получали аналогично соединению 7a. Выход 25%. Электронный спектр,  $\lambda_{\text{max}}$ , нм ( $\epsilon \times 10^{-3}$ ): 426 (390.1), 546 (57.5). <sup>1</sup>H-ЯМР-спектр ( $\delta$ , м.д.): 5.38 (1H, s, NCH), 4.29 (2H, m, NCH<sub>2</sub>), 2.67 (3H, s, NCH<sub>3</sub>). <sup>13</sup>C-ЯМР ( $\delta$ , м.д.): 38.76 (NCH<sub>3</sub>), 66.9 (NCH<sub>2</sub>),

67.3 (NCH), 68.2, 68.7 (sp<sup>3</sup>-C), 158.4–111.7 (sp<sup>2</sup>-C).

Порфирин–фуллереновый конъюгат 7е. Получали аналогично соединению 7а. Выход 25%. Электронный спектр,  $\lambda_{\text{max}}$ , нм ( $\epsilon \times 10^{-3}$ ): 426 (540.1), 546 (62.5). <sup>1</sup>H-ЯМР-спектр ( $\delta$ , м.д.): 5.40 (1H, s, NCH), 4.29 (2H, m, NCH<sub>2</sub>), 2.69 (3H, s, NCH<sub>3</sub>). <sup>13</sup>C-ЯМР ( $\delta$ , м.д.): 39.41 (NCH<sub>3</sub>), 65.9 (NCH<sub>2</sub>), 67.1 (NCH), 68.8, 73.9 (sp<sup>3</sup>-C), 159.1–111.5 (sp<sup>2</sup>-C).

**Порфирин–фуллереновый конъюгат 8а.** Получали аналогично соединению **7а.** Выход 19%. Электронный спектр,  $\lambda_{\text{max}}$ , нм ( $\epsilon \times 10^{-3}$ ): 426.8 (768.7), 546 (102).

Порфирин–фуллереновый конъюгат 8b. Получали аналогично соединению 7a. Выход 22%. Электронный спектр,  $\lambda_{\text{max}}$ , нм ( $\epsilon \times 10^{-3}$ ): 426.5 (387.7), 546 (58). Масс-спектр (MALDI-MS), m/z: 2302.151 [ $M^+$ ], 1580.162 [ $M^+$  –  $C_{60}$  – Cu], 719.993 ( $C_{60}^+$ ).

Порфирин–фуллереновый конъюгат 8с. Получали аналогично соединению 7а. Выход 25%. Электронный спектр,  $\lambda_{\text{max}}$ , нм ( $\epsilon \times 10^{-3}$ ): 426.5 (383.7), 546 (63.7). Масс-спектр (MALDI-MS), m/z: 1355.007 [ $M^{+}$  –  $C_{60}$  – Cu], 719.454 ( $C_{60}^{+}$ ).

Порфирин–фуллереновый конъюгат 9а. Получали аналогично соединению 7а. Выход 23%. Электронный спектр,  $\lambda_{\text{max}}$ , нм ( $\epsilon \times 10^{-3}$ ): 428 (567.4), 519 (49.5), 560 (33), 592 (20), 651(10). <sup>1</sup>H-ЯМР-спектр ( $\delta$ , м.д.): 5.47 (1H, s, NCH), 4.67, 4.71 (2H, d, NCH<sub>2</sub>), 2.54 (3H, s, NCH<sub>3</sub>). <sup>13</sup>C-ЯМР-спектр ( $\delta$ , м.д.): 38.28 (NCH<sub>3</sub>), 66.84 (NCH<sub>2</sub>), 67.04 (NCH), 67.95, 68.77 (sp<sup>3</sup>-C), 158.45–110.88 (sp<sup>2</sup>-C). Масс-спектр (MALDI-MS), m/z: 1792.327 [ $M^{\dagger}$ ]

Порфирин–фуллереновый конъюгат 9d. Получали аналогично соединению 7a. Выход 25%. Электронный спектр,  $\lambda_{\text{max}}$ , нм ( $\epsilon \times 10^{-3}$ ): 428 (457.4), 519 (46.5), 559 (31), 591 (19), 650(10). <sup>1</sup>H-ЯМР-спектр ( $\delta$ , м.д.): 5.46 (1H, s, NCH), 4.70, 4.73 (2H, d, NCH<sub>2</sub>), 2.57 (3H, s, NCH<sub>3</sub>). <sup>13</sup>C-ЯМР-спектр ( $\delta$ , м.д.): 38.27 (NCH<sub>3</sub>), 66.9 (NCH<sub>2</sub>), 67.3 (NCH), 67.52, 67.92 (sp<sup>3</sup>-C), 158.21–110.67 (sp<sup>2</sup>-C).

Порфирин–фуллереновый конъюгат 9е. Получали аналогично соединению 7а. Выход 27%. Электронный спектр,  $\lambda_{\text{max}}$ , нм ( $\epsilon \times 10^{-3}$ ): 428 (450.1), 520 (45.1), 560 (29), 592 (20), 651(9). <sup>1</sup>H-ЯМР-спектр ( $\delta$ , м.д.): 5.44 (1H, s, NCH), 4.66, 4.70 (2H, d, NCH<sub>2</sub>), 2.54 (3H, s, NCH<sub>3</sub>). <sup>13</sup>C-ЯМР-спектр ( $\delta$ , м.д.): 38.28 (NCH<sub>3</sub>), 67.5 (NCH<sub>2</sub>), 67.67 (NCH), 68.1, 68.57 (sp<sup>3</sup>-C), 159.65–111.13 (sp<sup>2</sup>-C). Масс-спектр (MALDI-MS), *m/z*: 2432.469 [M<sup>+</sup> – NH<sub>2</sub><sup>+</sup>=CH<sub>2</sub><sup>+</sup>].

### ЛИТЕРАТУРА:

- 1. Langa F. Fullerenes Principles and Applications. Cambridge: The Royal Society of Chemistry, 2007. 398 p.
- 2. Durdagi S., Supuran C.T., Strom T.A. In silico drug screening approach for the design of magic bullets: A successful example with anti-HIV fullerene derivatized amino acids // J. Chem. Inf. Model. 2009. V. 49. P. 1139–1143.
- 3. Rezayat S.M., Boushehri S.V.S., Salmanian B. The porphyrin–fullerene nanoparticles to promote the ATP overproduction in myocardium:  $^{25}$ Mg<sup>2+</sup>-magnetic isotope effect // Eur. J. Med. Chem. 2009. V. 44. No 4. P. 1554–1569.

- 4. Kharisov B.I. Recent advances in the synthesis, characterization, and applications of fulleropyrrolidines // Ind. Eng. Chem. Res. 2009. V. 48. P. 545–571.
- 5. D'Souza F., Chitta R., Ohkubo K. Corrole-fullerene dyads: Formation of long-lived charge-separated states in nonpolar solvents // J. Am. Chem. Soc. 2008. V. 130. P. 14263–14272.
- 6. Lee J.-C., Kim T.-Y., Kang S.H., Shim Y.K. Synthesis of covalently linked chlorin–fullerene dyads // Bull. Korean Chem. Soc. 2001. V. 22. № 3. P. 257–258.
  - 7. Meijer M.D. Metal-chelating capacities attached to fullerenes // Coord. Chem. Rev. 2002. V. 230. P. 141–163.
- 8. Schuster D.I., Li K., Guldi D.M. Porphyrin–fullerene photosynthetic model systems with rotaxane and catenane architectures // C. R. Chimie. 2006. V. 9. P. 892–908.
- 9. Алексеев А.С., Ткаченко Н.В., Ефимов А.В., Лемметюйнен Х. Фотоиндуцированный направленный перенос электрона в многослойных пленках Ленгмюра–Блоджетт производных порфирина и фталоцианина // Журн. физ. хим. 2010. Т. 84. № 7. С. 1356–1367.
- 10. Rosen B.M., Wilson C.J., Wilson D.A. Dendron-mediated self-assembly, disassembly, and self-organization of complex systems. // Chem. Rev. 2009. V. 109. P. 6275–6540.
- 11. Lenoble J., Maringa N., Campidelli S. Liquid-crystalline fullerodendrimers which display columnar phases // Org. Lett. 2006. V. 8. P. 1851–1854.
- 12. Campidelli S., Milic D., Lenoble J. Liquid-crystalline bisadducts of [60] fullerene // Tetrahedron. 2006. V. 62. P. 2115–2122.
- 13. Li W.-S., Yohei Y., Takanori F., Akinori S., Shu S. Amphiphilic molecular design as a rational strategy for tailoring bicontinuous electron donor and acceptor arrays: Photoconductive liquid crystalline oligothiophene-C60 dyads // J. Am. Chem. Soc. 2008. V. 130. P. 8886–8887.
- 14. Nakanishi T., Shen Y., Wang J., Yagai S., Funahashi M., Kato T., Fernandes P., Mohwald H., Kurth D. G. Electron transport and electrochemistry of mesomorphic fullerenes with long-range ordered lamellae // J. Am. Chem. Soc. 2008. V. 130. P. 9236–9237.
- 15. Escosura A., Martinez-Diaz M.V., Barbera J., Torres T. Self-organization of phthalocyanine–[60]fullerene dyads in liquid crystals // J. Org. Chem. 2008. V. 73. P. 1475–1480.
- 16. Li Q. Self-organized organic semiconductors: From materials to device applications. US: John Wiley and Sons, 2011. 320 p.
- 17. Ohta K., Yamaguchi N., Yamamoto I. Discotic liquid crystals of transition metal complex. Synthesis and mesomorphism of porphyrin derivaties substituted with two or four bulky groups // J. Mater. Chem. 1998. V. 8. P. 2637–2650.
- 18. Wei L., Tong-Shun S. Properties of *meso*-tetrakis(4-*n*-alkanoyloxyphenyl)porphyrin liquid crystal Co and Ni complexes // Science in China. 2007. V. 50. P. 488–493.
- 19. Брагина Н.А., Федулова И.Н., Новиков Н.В., Крутикова Е.С., Миронов А.Ф., Быкова В.В., Ананьева Г.А., Усольцева Н.В. Синтез и мезогенные свойства липофильных и амфифильных тетрафенил-порфиринов // Macroheterocycles. 2009. Т. 2. № 3-4. С. 228–236.
- 20. Sandanayaka A.S.D., Murakami T., Hasob T. Chiroselective assembly of a chiral porphyrin–fullerene dyad: Photoconductive nanofiber with a top-class ambipolar charge-carrier mobility // J. Phys. Chem. C. 2009. V. 113. P. 18369–18378.
- 21. Fedulova I.N., Bragina N.A., Novikov N.V., Ugol'nikova O.A., Mironov A.F. Synthesis of lipophilic tetraphenylporphyrins to design lipid–porphyrin ensembles // Rus. J. Bioorg. Chem. 2007. V. 33. № 6. P. 635–639.
- 22. Brockmann H.J., Bliesener K.M., Inhoffen H.H. Zur weiteren kenntis des chlorophylls und des hemins // Liebigs Ann. Chem. 1968. V. 718. P. 148–161.
- 23. Москальчук Т.В. Изучение реакции формилирования в ряду *мезо*-тетраарилзамещенных порфиринов и хлоринов: дис. . . . канд. хим. наук. М., 2004. 125 с.
- 24. Buchler J.VW., Dreher C., Herget G. Vilsmeier-formylierung von metalloporphyrinen mit Co<sup>II</sup>, Ni<sup>II</sup>, Pd<sup>II</sup>, Pt<sup>II</sup>, Cu<sup>II</sup>, Zn<sup>II</sup>, Co<sup>III</sup>, Cr<sup>III</sup>, Mn<sup>III</sup>, Fe<sup>III</sup>, Al<sup>III</sup>, Si<sup>IV</sup> und Pt<sup>IV</sup> in abhangigkeit vom zentralmetall // Liebigs Ann. Chem. 1988. V. 1988. № 1. P. 43–54.
- 25. Маравин Г.Б., Пономарев Г.В., Яшунский Д.В., Морлян Н.М. Способ получения 1-формилα,β,γ,δ-тетрафенилпорфирина: А.с. 891673 (СССР). Опубл. 1981, Б.И. № 47. С. 109.
- 26. Maggini M., Scorrano G., Prato M. Addition of azomethine ylides to C60: Synthesis, characterization, and functionalization of fullerene pyrrolidines // J. Am. Chem. Soc. 1993. V. 115. P. 9798–9799.
- 27. Drovetskaya T., Reed C.A., Boyd P. A fullerene porphyrin conjugate // Tetrahedron Lett. 1995. V. 36. P. 7971–7974.
- 28. Ma B., Sun Y.-P. Fluorescence spectra and quantum yields of [60] fullerene and [70] fullerene under different solvent conditions. A quantitative examination using a near-infrared-sensitive emission spectrometer // J. Chem. Soc., Perkin Trans. 1996. V. 2. P. 2157–2162.